

циркония в намагниченность этого соединения. Различная величина магнитных моментов иттрия и циркония может быть следствием того, что в соединениях одной стехиометрии иттрий (как и лютеций) имеет три внешних электрона, а цирконий — четыре.

Полученные результаты косвенно подтверждаются анализом локальных полей на ядрах  $Y^{89}$  и  $Zr^{91}$  в псевдобинарных соединениях  $Y(Fe_xAl_{1-x})_2$  [8] и  $Zr(Fe_xAl_{1-x})_2$  [9]. В отличие от соединений на основе иттрия в последнем случае обнаружено, что изменение среднего поля на ядрах циркония не пропорционально замещению в подрешетке железа. Поэтому в [9] сделан вывод о существовании вклада в  $H^{Zr}$ , связанного с собственным моментом циркония.

Изложенные выше оценки носят качественный характер, однако они показывают, что в плане регистрации момента атомов А более перспективными являются нейтронографические исследования соединения  $ZrFe_2$ .

### Список литературы

- [1] Yamada Y., Ohmae H. // J. Phys. Soc. Jap. 1980. V. 48. N 5. P. 1513—1518.
- [2] Yamada H., Shimizu M. // J. Phys. F. 1986. V. 16. N 8. P. 1039—1050.
- [3] Mohn P., Schwarz K. // Physica. 1985. V. 130 (B+C). N 1—3. P. 26—28.
- [4] Armitage I., Dumelow T., Mitchell R., Riedi P., Abell J., Mohn P., Schwarz K. // J. Phys. F. 1986. V. 16. N 7. P. L141—L144.
- [5] Васильковский В. А., Ковтун Н. М., Куприянов А. К., Никитин С. А., Островский В. Ф. // ЖЭТФ. 1981. Т. 80. № 1. С. 364—367.
- [6] Asano S., Ishida S. // J. Magn. Magn. Mat. 1987. V. 70. N 1—3. P. 187—188.
- [7] Givord D., Gregory A., Schweizer J. // J. Magn. Magn. Mat. 1980. V. 15—18. N 1. P. 293—294.
- [8] Васильковский В. А., Горленко А. А., Куприянов А. К., Островский В. Ф. // ФТТ. 1988. Т. 30. № 5. С. 1374—1379.
- [9] Покатилов В. С. // ЖЭТФ. 1987. Т. 93. № 9. С. 944—951.

Донецкий физико-технический институт  
АН УССР  
Донецк

Поступило в Редакцию  
28 апреля 1989 г.

УДК 538.652

Физика твердого тела, том 31, в. 11, 1989  
Solid State Physics, vol. 31, N 11, 1989

## ДРЕЙФ ДОМЕННОЙ ГРАНИЦЫ В ЗВУКОВОЙ ВОЛНЕ

С. И. Денисов

Благодаря магнитоупругому взаимодействию звуковая волна, распространяющаяся в ферромагнетике (ФМ) перпендикулярно поверхности доменной границы (ДГ), может вызывать ее движение. Согласно результатам [1, 2], полученным на основании линеаризованных уравнений для намагниченности  $M$  и вектора смещения упругой среды  $u$ , ДГ в звуковой волне совершает около положения равновесия колебательное движение с частотой звука  $\omega_s$ . Однако в нелинейном приближении характер движения ДГ может измениться — в некоторых случаях наряду с колебательным ДГ совершает также и дрейфовое движение вдоль направления распространения звука. Возможность такого движения продемонстрирована ниже на примере  $180^\circ$  ДГ в одноосном ФМ, плотности магнитной  $\omega_m$  и магнитоупругой  $\omega_{my}$  энергии которого имеют вид

$$\omega_m = M^2 \left[ \frac{\tilde{\alpha}}{2} \left( \frac{\partial \theta}{\partial y} \right)^2 + \frac{\beta}{2} \sin^2 \theta + 2\pi \sin^2 \theta \sin^2 \varphi \right], \quad \omega_{my} = M^2 \epsilon_{ijx_j} x_j. \quad (1)$$

Здесь  $\theta = \theta(y, t)$ ;  $\varphi = \varphi(t)$  — полярный и азимутальный углы вектора  $M$ ;  $M = |M|$ ;  $\tilde{\alpha}$  — постоянная неоднородного обмена;  $\beta$  — константа одно-

осной анизотропии;  $\lambda$  — магнитоупругая постоянная;  $e_{ij}$  — тензор деформации;  $x_i$  — направляющие косинусы вектора  $M$ . Пренебрегая стрикционной деформацией ФМ, в рассматриваемом здесь случае звуковой волны, поляризованной вдоль оси  $x$  ( $u = u_0 e_x \cos(ky - \omega_s t)$ ,  $k$  — волновое число), все компоненты тензора  $e_{ij}$ , за исключением  $e_{xy} = -(\eta/2) \sin(ky - \omega_s t)$  ( $\eta = u_0 k$ ), обращаются в нуль. Учитывая также, что в подходе сокращенного описания динамики ДГ [3]  $\theta(y, t) = \theta_0(y - y_1)$  ( $\theta_0(y)$  — равновесное распределение полярного угла,  $\sin \theta_0(y) = \text{ch}^{-1}(y/\Delta)$ ,  $\Delta = \sqrt{\bar{\alpha}/\beta}$ ,  $y_1 = y_1(t)$  — координата центра ДГ), для поверхностной энергии ДГ в звуковой волне, длина которой значительно превышает ширину ДГ  $\Delta$ , получаем, интегрируя  $\omega_x + \omega_y$  по  $y$ ,

$$\sigma = \text{const} + M^2 \Delta [4\pi \sin^2 \varphi - \lambda \eta \sin 2\varphi \sin(ky_1 - \omega_s t)]. \quad (2)$$

В соответствии с этим уравнения Слончевского [3], описывающие трансляционную динамику ДГ, принимают вид

$$\ddot{y} - \alpha \dot{\varphi} = 2\pi \sin 2\varphi - \lambda \eta \cos 2\varphi \sin(\xi \bar{y} - \Omega \tau), \quad \dot{\varphi} + \alpha \dot{y} = (\lambda \eta \xi / 2) \sin 2\varphi \cos(\xi \bar{y} - \Omega \tau), \quad (3)$$

где  $\bar{y} = y_1/\Delta$ ,  $\xi = \Delta k$ ,  $\tau = \gamma M t$ ,  $\Omega = \omega_s/\gamma M$ ,  $\gamma$  — гиромагнитное отношение,  $\alpha$  — параметр затухания Гильберта, а точка над  $\bar{y}$  и  $\varphi$  означает дифференцирование по безразмерному времени  $\tau$ .

Рассмотрим вначале бездиссипативное движение ДГ ( $\alpha = 0$ ). В этом случае угол  $\varphi$  совпадает со своим равновесным значением, равным 0 или  $\pi$ , а уравнение для  $\bar{y}$

$$\ddot{y} = -\lambda \eta \sin(\xi \bar{y} - \Omega \tau) \quad (4)$$

имеет при  $d = \lambda \eta \xi / \Omega < 1$  следующее решение:

$$\bar{y}(\tau) = \frac{\Omega \tau}{\xi} (1 - \sqrt{1 - d^2}) + \frac{1}{\xi} \left[ \Omega \tau \sqrt{1 - d^2} - 2 \text{Arc tg} \left\{ d + \sqrt{1 - d^2} \text{tg} \frac{\sqrt{1 - d^2}}{2} (\Omega \tau + c) \right\} \right] \quad (5)$$

( $c$  — постоянная интегрирования). Первое слагаемое в (5) описывает дрейфовое движение ДГ со скоростью

$$V = (\omega_s/k) [1 - \sqrt{1 - d^2}] \quad (6)$$

вдоль направления распространения звука, а второе — осциллирующее движение с периодом  $2\pi/\omega_s \sqrt{1 - d^2}$ .

При  $\alpha \neq 0$  точное решение уравнений (3) неизвестно, однако в обычном случае, когда  $\lambda \eta \ll 1$ , эти уравнения могут быть приближенно решены методом усреднения [4], в соответствии с которым  $\bar{y}$  и  $\varphi$  ищутся в виде суммы «медленных» ( $\bar{y}^{(0)}$ ,  $\varphi^{(0)}$ ) и «быстрых» ( $\bar{y}^{(1)}$ ,  $\varphi^{(1)}$ ) функций. При этом «быстрые» части решения описывают колебательное движение ДГ с частотой  $\omega_s$ , а характерные времена изменения «медленных» частей предполагаются много большими  $1/\omega_s$ . Находя решение линейных уравнений для  $\bar{y}^{(1)}$  и  $\varphi^{(1)}$  и подставляя его в уравнения для  $\bar{y}^{(0)}$  и  $\varphi^{(0)}$ , следующих из (3), последние при  $\bar{y}^{(0)} = \bar{V} \tau$  и  $\varphi^{(0)} = \text{const}$  сводятся к системе алгебраических уравнений относительно безразмерной скорости дрейфа ДГ  $\bar{V}$  ( $\bar{V} = V/\gamma M \Delta$ ) и угла  $\varphi^{(0)}$ . Решение их с точностью до квадратичных по  $d$  членов дает  $\varphi^{(0)} = 0$  и

$$V = \frac{1}{2} \frac{(1 + \alpha^2) \Omega^2}{(4\pi\alpha)^2 + (1 + \alpha^2)^2 \Omega^2} \frac{\omega_s}{k} d^2. \quad (7)$$

Таким образом, ДГ в поле упругих напряжений распространяющейся звуковой волны может совершать дрейфовое движение. Найденная выше скорость дрейфа значительно превышает скорость  $V_p$ , которую приобрела бы ДГ в результате давления  $P$  на нее звука. Действительно, поскольку  $P \sim \rho \omega_s^2 u^2$  ( $\rho$  — плотность ФМ), а амплитуда звуковой волны  $u$ , отражен-

ной от упругой неоднородности в области ДГ, по порядку величины равна  $\eta\lambda\Delta M^2/C$  ( $C$  — упругий модуль), для  $V_p$  получаем следующую оценку:  $V_p \sim (\omega_p \eta\lambda/C)^2 \Delta^3 M^3 \rho \gamma / \alpha$ . Сравнивая  $V_p$  с выражением (7), нетрудно убедиться, что для реальных численных значений параметров ФМ всегда выполняется условие  $V \gg V_p$ . Следует, однако, отметить, что звуковое давление может быть и основной причиной равномерного движения ДГ. Такая ситуация реализуется, например, в случае продольной поляризации звука, когда  $V=0$ .

Автор выражает благодарность Ю. И. Горобцу за обсуждение результатов работы.

#### Список литературы

- [1] Барьяхтар В. Г., Иванов Б. Н. // ФММ. 1975. Т. 39. № 3. С. 478—485.
- [2] Туров Е. А., Луговой А. А. // ФММ. 1980. Т. 59. № 5. С. 903—913.
- [3] Slonczewski J. C. // Intern. J. Magn. 1972. V. 2. № 3. P. 85—97.
- [7] Гребеников Е. А. Метод усреднения в прикладных задачах. М., 1985. 256 с.

Донецкий государственный университет  
Донецк

Поступило в Редакцию  
3 мая 1989 г.

УДК 541.57—162; 548.31

Физика твердого тела, том 31, в. 11, 1989  
Solid State Physics, vol. 31, N 11, 1989

## ОПРЕДЕЛЕНИЕ НИЖНИХ УРОВНЕЙ СПЕКТРА $Np^{4+}$ В $NpOS$ ПО ДАННЫМ МАГНИТНОЙ ВОСПРИИМЧИВОСТИ

А. В. Калинин

Оксисульфид нептуния  $NpOS$  кристаллизуется в тетрагональную структуру типа  $RbFCl$  (пространственная группа симметрии  $D_{4h}^7$ ). Ион  $Np$  в этой структуре занимает двукратную  $c$ -позицию с точечной симметрией  $C_{4v}$ . Магнитная структура  $NpOS$  до конца не ясна. Тем не менее характер

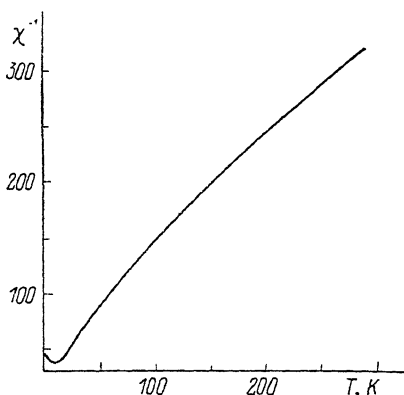


Рис. 1. Температурная зависимость обратной магнитной восприимчивости оксисульфида нептуния [1].

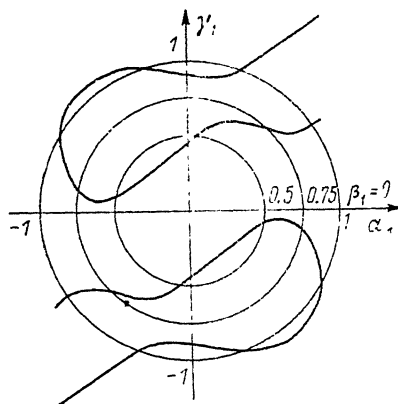


Рис. 2. Результаты численного расчета коэффициентов в волновых функциях дублета  $\Gamma_6^1$ .

Точки пересечения окружностей (условие нормировки) с кривыми определяют наборы значений  $(\alpha_1, \beta_1, \gamma_1)$ .

поведения кривой обратной магнитной восприимчивости [1] говорит о том, что ниже  $T_N \approx 5$  К  $NpOS$  становится антиферромагнетиком. В парамагнитной фазе обратная восприимчивость оксисульфида нептуния линейно зависит от температуры в диапазоне  $T=20\div 60$  К с эффективным магнитным моментом и парамагнитной температурой Кюри соответственно  $\mu_{\text{эф}} =$